

### VI.3) Espalhamento como perturbação do contínuo

Até o momento atacamos o problema do espalhamento de 2 formas: determinação da amplitude de espalhamento via a equação integral envolvendo a função de Green ou a determinação dos phase shifts para potenciais seccionalmente constantes. Vamos agora desenvolver um novo método que nos permite calcular os phase shifts para potenciais mais gerais e que, além disso, nos apresenta uma maneira direta de tratar os estados ligados do problema.

O nosso ponto de partida é a relação entre os phase shifts e a energia.

Consideremos uma partícula num potencial  $V(r)$ , tal que  $\lim_{r \rightarrow \infty} rV(r) = 0$ , sujeita às condições de contorno impostas por uma esfera de raio  $R$  ( $\rightarrow \infty$ ).

A solução do problema é

$$\psi_l(r) Y_l^m(\theta, \varphi) \sim \frac{1}{r} \sin\left(kr - \frac{l\pi}{2} + \delta_l\right) Y_l^m(\theta, \varphi), \quad (\text{VI.3.1})$$

e se  $V = 0$

$$\psi_l^{(0)}(r) Y_l^m(\theta, \varphi) \sim \frac{1}{r} \sin\left(kr - \frac{l\pi}{2}\right) Y_l^m(\theta, \varphi). \quad (\text{VI.3.2})$$

As condições de contorno nos dois casos implicam em

$$\begin{aligned} \psi_l^{(0)}(R) = 0 &\Rightarrow k_{l,n}^{(0)} R - l\pi/2 = n\pi \\ \psi_l(R) = 0 &\Rightarrow k_{l,n} R - l\pi/2 + \delta_l = n\pi \end{aligned} \quad (\text{VI.3.3})$$

onde  $k_{n,l}^{(0)}$  e  $k_{n,l}$  são tais que

$$E_{n,l}^{(0)} = \hbar^2 \frac{\left(k_{n,l}^{(0)}\right)^2}{2m}$$

e

$$E_{n,l} = \hbar^2 \frac{k_{n,l}^2}{2m}.$$

Para que  $E_{n,l} \rightarrow E_{n,l}^{(0)}$  quando  $V \rightarrow 0$  devemos ter  $\delta_l(E) \rightarrow 0$  se  $V \rightarrow 0$ .

Quando  $R \rightarrow \infty$ ,  $k_{n+1}^{(0)} - k_n^{(0)} \cong \mathcal{O}\left(\frac{\pi}{R}\right)$  para um dado  $l$ . Temos ainda, para um dado  $l$ ,

$$\Delta E_n \equiv E_{n+1}^{(0)} - E_n^{(0)} \approx \frac{\hbar^2 k_n^{(0)}}{m} \left(k_{n+1}^{(0)} - k_n^{(0)}\right) = \frac{\hbar^2 k_n^{(0)}}{m} \frac{\pi}{R}. \quad (\text{VI.3.4})$$

Por outro lado, podemos definir

$$\begin{aligned} \delta E_n &\equiv E_n - E_n^{(0)} \\ &= \frac{\hbar^2}{2m} \left(k_n + k_n^{(0)}\right) \left(k_n - k_n^{(0)}\right) \\ &= -\frac{\hbar^2}{2m} \left(k_n + k_n^{(0)}\right) \frac{\delta_l}{R}, \end{aligned} \quad (\text{VI.3.5})$$

onde subtraímos a 2ª da 1ª em (VI.3.3). Como  $k_n = k_n^{(0)} + \mathcal{O}(1/R)$  temos

$$\frac{\delta E_{n,l}}{\Delta E_{n,l}} = -\frac{1}{\pi} \delta_l(E). \quad (\text{VI.3.6})$$

( $\delta E$  =variação de energia  $\rightarrow 0$  se  $R \rightarrow \infty$ )

De posse deste resultado podemos desenvolver a chamada teoria de Fredholm para o espalhamento.

Consideremos o seguinte problema: Como calcular  $D(z)$  definido como

$$D(z) = \frac{\det(z - H)}{\det(z - H_0)},$$

onde  $H = H_0 + V$  e  $D(z) = \lim_{R \rightarrow \infty} D_R(z)$ ?

Como sabemos,

$$\begin{aligned} D_R(E) &= \frac{\det(E - H)}{\det(E - H_0)} \\ &= \prod_{l=0}^{\infty} \left[ \prod_n \frac{E - E_{nl}}{E - E_{nl}^{(0)}} \right]^{2l+1} \\ &= \prod_{l=0}^{\infty} \left[ \prod_n 1 - \frac{\delta E_{nl}}{E - E_{nl}^{(0)}} \right]^{2l+1}. \end{aligned} \quad (\text{VI.3.7})$$

Então, considerando apenas um canal  $l$  temos:

$$D_R^{(l)}(z) = \prod_n \left( 1 - \frac{\delta E_{nl}}{z - E_{nl}^{(0)}} \right). \quad (\text{VI.3.8})$$

Como  $\delta E \sim \mathcal{O}(1/R)$  espera-se que  $\prod_n$  convirja se  $\text{Im}z \neq 0$ . Vemos, então, que  $D_R^{(l)}(z)$  é uma função analítica de  $z$  exceto por polos (auto valores de  $H_0$ ) no eixo real.  $D_R^{(l)}(z)$  possui também zeros (auto valores de  $H$ ) no eixo real que podem distar  $\mathcal{O}(1/R)$  de um polo ou ser negativos.

Quando  $R \rightarrow \infty$ , zeros e polos coalescem dando origem a um corte no plano  $E$ -complexo. Zeros ao longo do eixo real negativo são os estados ligados do problema.

Para  $H = H_0 + gH_1$  pode-se mostrar que  $D_R^{(l)}(z)$  existe e é uma função inteira de  $g$  se  $\lim_{r \rightarrow 0} r^2 V(r) = 0$  e  $\lim_{r \rightarrow \infty} rV(r) = 0$ .

Omitindo o índice  $l$ , podemos escrever

$$\begin{aligned} D_R(z) &= \prod_{b=1}^N \left( \frac{z + E_b}{z} \right) \exp \left\{ \sum_{n>N}^{\infty} \ln \left( 1 - \frac{\delta E_n}{z - E_n^{(0)}} \right) \right\} + \mathcal{O}(1/R) \\ &= \prod_{b=1}^N \left( \frac{z + E_b}{z} \right) \exp - \left\{ \sum_{n>N}^{\infty} \frac{\delta E_n / \Delta E_n}{z - E_n} \Delta E_n \right\} + \mathcal{O}(1/R), \end{aligned} \quad (\text{VI.3.9})$$

onde assumimos que

i)  $H$  tenha  $N$  estados ligados  $E_b$ ,  $b = 1, \dots, N$ .

ii) estes estados ligados são obtidos, um a um, aumentando-se  $|g|$  (para  $R$  fixo  $\rightarrow \infty$ ) a partir de  $H_0$ . Assim todos estes estados originam-se dos estados de mais baixa energia ( $E_n^{(0)}$ ,  $n = 1 \dots N$ ) de  $H_0$  que, quando  $R \rightarrow \infty$ , são todos praticamente nulos.

Então, quando  $R \rightarrow \infty$ ,

$$D_{\infty}(z) = \prod_{b=1}^N \left( \frac{z + E_b}{z} \right) \exp \left\{ \frac{1}{\pi} \int_0^{\infty} \frac{\delta(E') dE'}{z - E'} \right\}. \quad (\text{VI.3.10})$$

Usando que

$$\lim_{z \rightarrow x \pm i\epsilon} \frac{1}{\pi} \int_a^b \frac{f(x') dx'}{z - x'} = \mathcal{P} \int_a^b \frac{f(x') dx'}{x - x'} \mp if(x), \quad (\text{VI.3.11})$$

temos ( $z = E \pm i\epsilon$ )

$$\frac{1}{\pi} \int_0^\infty \frac{\delta(E') dE'}{E \pm i\epsilon - E'} = \mp i\delta(E) + \mathcal{P} \int_0^\infty \frac{\delta(E') dE'}{E - E'}. \quad (\text{VI.3.12})$$

Então, usando a (VI.3.12) na (VI.3.10) e omitindo o subscrito  $\infty$  de  $D_\infty$  de agora em diante, temos

$$D(E \pm i\epsilon) = e^{\mp i\delta(E)} \prod_b \left( \frac{E + E_b}{E} \right) \exp \frac{1}{\pi} \mathcal{P} \int_0^\infty \frac{\delta(E') dE'}{E - E'}, \quad (\text{VI.3.13})$$

ou ainda

$$\frac{D(E + i\epsilon)}{D(E - i\epsilon)} = e^{-2i\delta(E)}. \quad (\text{VI.3.14})$$

Assim, quando  $R \rightarrow \infty$ ,  $D_R(z)$  apresenta um salto no eixo  $\mathbb{R}^+$ , ou seja,  $D(z)$  é analítica no plano  $z$  exceto por um corte ao longo de  $\mathbb{R}^+$ . Além disso, como

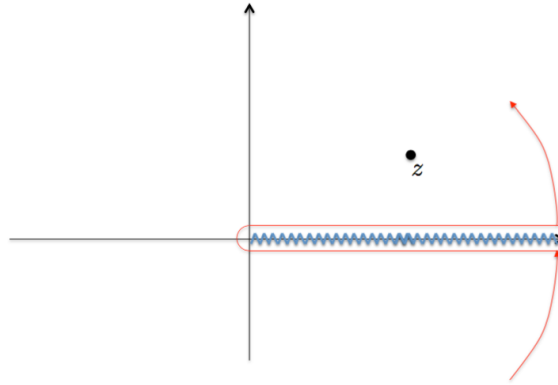
$$D(z) \xrightarrow{|z| \rightarrow \infty} \exp \left\{ \frac{1}{\pi z} \int_0^\infty \delta(E) dE \right\}, \quad (\text{VI.3.15})$$

$D(z) \rightarrow 1$  se  $|z| \rightarrow \infty$ .

Pela fórmula de Cauchy, sabemos que

$$\frac{1}{2\pi i} \oint \frac{D(z') - 1}{z' - z} dz' = D(z) - 1$$

ao longo de qualquer caminho  $\mathcal{C}$  que contenha  $z$  no seu interior. Podemos, então, deformá-lo como na figura abaixo



e assim

$$D(z) = 1 + \frac{1}{2\pi i} \int_\infty^0 \frac{D(E - i\epsilon) - 1}{E - z} dE + \frac{1}{2\pi i} \int_0^\infty \frac{D(E + i\epsilon) - 1}{E - z} dE, \quad (\text{VI.3.16})$$

ou ainda

$$D(z) = 1 + \int_0^\infty \frac{A(E) dE}{z - E}, \quad (\text{VI.3.17})$$

onde

$$\begin{aligned} A(E) &\equiv \frac{1}{2\pi i} [D(E - i\epsilon) - D(E + i\epsilon)] \\ &= \frac{1}{\pi} D(E + i\epsilon) e^{i\delta(E)} \sin \delta(E). \quad (\text{VI.3.18}) \end{aligned}$$

Como  $D^*(z) = D(z^*)$ ,  $A(E)$  (chamado de *peso espectral*)  $\in \mathbb{R}$ . Usando  $z = E + i\epsilon$  em (VI.3.17) temos

$$D(E + i\epsilon) = 1 - i\pi A(E) + \mathcal{P} \int_0^\infty \frac{A(E') dE'}{E - E'}, \quad (\text{VI.3.19})$$

que combinada com (VI.3.18) nos dá

$$\pi A(E) \cot \delta(E) = 1 + \mathcal{P} \int_0^\infty \frac{A(E')}{E - E'} dE', \quad (\text{VI.3.20})$$

uma equação integral para  $A(E)$  em função de  $\delta(E)$ .

Do ponto de vista prático as vantagens de (VI.3.20) são:

- i)  $A(E)$  é uma função inteira de  $g$  que esperamos poder representar por poucos termos.
- ii) o lado direito de (VI.3.20) pode ser aproximado por um polinômio em  $E$  quando  $E \rightarrow 0$ .
- iii) os estados ligados podem ser tratados como raízes de

$$\int_0^\infty \frac{A(E') dE'}{E' + E_b} = 1. \quad (\text{VI.3.21})$$

que é obtida de  $D(-E_b) = 0$ .

Nosso próximo passo será, então, descrever  $A(E)$  como série de potências em  $g$ . Como  $H = H_0 + gH_1$  temos

$$D(z) = \det \left[ 1 - \frac{gH_1}{z - H_0} \right]. \quad (\text{VI.3.21})$$

Usando que  $\det A = \exp \{ \text{tr} \ln A \}$  teremos

$$D(z) = \exp \left\{ \text{tr} \ln \left( 1 - gG^{(0)}(z) H_1 \right) \right\}, \quad (\text{VI.3.22})$$

onde  $G^{(0)}(z) = (z - H_0)^{-1}$ . Então,

$$D(z) = 1 - g \text{tr} G^{(0)}(z) H_1 - \frac{g^2}{2} \left\{ \left[ \text{tr} G^{(0)}(z) H_1 \right]^2 - \text{tr} \left[ G^{(0)}(z) H_1 \right]^2 \right\} + \dots, \quad (\text{VI.3.23})$$

onde os traços podem ser calculados na base  $\{|n\rangle\}$  tal que  $H_0|n\rangle = E_n^{(0)}|n\rangle$ .

Quando  $R < \infty$

$$\langle \mathbf{r} | n \rangle = \left( \frac{2k_n^2}{R} \right)^{1/2} j_l(k_n r).$$

No limite  $R \rightarrow \infty$  passamos ao contínuo e

$$\sum_n |n\rangle \langle n| = \sum_n \Delta E_n \frac{|n\rangle \langle n|}{\sqrt{\Delta E_n} \sqrt{\Delta E_n}} \rightarrow \int dE |E\rangle \langle E|,$$

onde definimos

$$|E\rangle = \lim_{R \rightarrow \infty} \frac{|n\rangle}{\sqrt{\Delta E_n}}$$

e como  $\Delta E_n = \hbar k_n \pi / mR$ , temos,

$$\langle \mathbf{r} | E \rangle = \left( \frac{2km}{\pi \hbar^2} \right)^{1/2} j_l(kr). \quad (\text{VI.3.24})$$

Portanto,

$$\begin{aligned} \text{tr} G^{(0)}(z) H_1 &= \int_0^\infty \frac{\langle E | H_1 | E \rangle}{z - E} dE, \\ \left[ \text{tr} G^{(0)}(z) H_1 \right]^2 - \text{tr} \left[ G^{(0)}(z) H_1 \right]^2 &= 2 \int_0^\infty \int_0^\infty \frac{dE dE'}{(z - E)(z - E')} \begin{vmatrix} \langle E | H_1 | E \rangle & \langle E | H_1 | E' \rangle \\ \langle E' | H_1 | E \rangle & \langle E' | H_1 | E' \rangle \end{vmatrix} \dots \text{etc.} \end{aligned}$$

Assim usando a (VI.3.17) podemos concluir que

$$\begin{aligned} A(E) &= -g \langle E | H_1 | E \rangle + g^2 \int_0^\infty \frac{dE_1}{E - E_1} \begin{vmatrix} \langle E | H_1 | E \rangle & \langle E | H_1 | E_1 \rangle \\ \langle E_1 | H_1 | E \rangle & \langle E_1 | H_1 | E_1 \rangle \end{vmatrix} + \dots \\ &+ \frac{(-g)^{n+1}}{n!} \int_0^\infty \dots \int_0^\infty \frac{dE_1 \dots dE_n}{(E - E_1) \dots (E - E_n)} \begin{vmatrix} \langle E | H_1 | E \rangle & \dots & \langle E | H_1 | E_n \rangle \\ \vdots & & \vdots \\ \langle E_n | H_1 | E \rangle & \dots & \langle E_n | H_1 | E_n \rangle \end{vmatrix} + \dots \quad (\text{VI.3.25}) \end{aligned}$$

onde

$$g \langle E | H_1 | E' \rangle = \left( \frac{2m}{\pi \hbar^2} \right) \sqrt{k k'} \int_0^\infty dr r^2 j_l(kr) j_l(k'r) V(r).$$

A relação entre o método de Fredholm e a série de Born pode ser obtida através de (VI.3.18),

$$e^{i\delta} \sin \delta = \frac{\pi A(E)}{D(E + i\epsilon)},$$

expandindo-se  $[D(E + i\epsilon)]^{-1}$  em série de potências de  $g$ , mas este procedimento falha se  $D(E + i\epsilon)$  possui zeros. Note que se  $\delta \rightarrow 0$  e  $D \rightarrow 1$ , o que significa energias muito altas, podemos reescrever o resultado de Born como

$$\delta_l(k) = -\frac{2mk}{\hbar} \int_0^\infty [j_l(kr)]^2 V(r) r^2 dr.$$

A grande vantagem do método de Fredholm, contido na equação (VI.3.20) é o de podermos estudar o problema para baixas energias. Consideremos o comportamento de  $A^{(l)}(E)$  quando  $E \rightarrow 0$ . O elemento de matriz é dado por

$$g \langle E | H_1 | E' \rangle \xrightarrow{E, E' \rightarrow 0} \frac{2m}{\pi \hbar^2} [(2l + 1)!!]^{-2} (k k')^{l+1/2} \int_0^\infty r^{2l+2} V(r) dr.$$

Assumindo que  $V(r)$  seja exponencialmente decrescente (potencial de alcance finito), o elemento de matriz converge para todos os  $l$ 's. Assim, a expansão (VI.3.25) tem a forma

$$A^{(l)}(E) \rightarrow c_0 E^{l+1/2} (1 + c_1 E + c_2 E^2 + \dots), \quad (\text{VI.3.26})$$

que implica que  $A^{(l)}(E)$  possui um ponto de ramificação em  $E = 0$ . Portanto, devemos fazer o prolongamento analítico de (VI.3.20) como

$$\pi A^{(l)}(z) \cot \delta(z) = 1 + \int_0^{\infty} \frac{A^{(l)}(E')}{z - E'} dE' + i\pi A^{(l)}(z), \quad (\text{VI.3.27})$$

pois se  $E + i\epsilon = z$  recuperamos a (VI.3.20). Nenhum dos dois termos não constantes do lado direito de (VI.3.27) são analíticos, mas a sua soma o é pois

$$\int_0^{\infty} \frac{A^{(l)}(E')}{E - E' + i\epsilon} dE' - \int_0^{\infty} \frac{A^{(l)}(E')}{E - E' - i\epsilon} dE' = -2i\pi A^{(l)}(E),$$

e por (VI.3.26) se  $z$  varia entre  $E$  e  $Ee^{2\pi i}$ ,  $A^{(l)}(E) \rightarrow -A^{(l)}(E)$  e os dois saltos se cancelam. Então, expandindo o lado direito de (VI.3.27) em torno de  $z = 0$  e usando (VI.3.26) temos

$$\pi c_0 E^{l+\frac{1}{2}} \cot \delta(E) = 1 - \int_0^{\infty} \frac{A^{(l)}(E')}{E'} dE' + \frac{E}{W_l} + \mathcal{O}(E^2), \quad (\text{VI.3.28})$$

que implica em

$$k^{2l+1} \cot \delta_l \xrightarrow{k \rightarrow 0} -\frac{1}{a_l} + \frac{1}{2} r_l k^2 \quad (\text{VI.3.29})$$

e, portanto, a amplitude de espalhamento  $f_l$  é dada por

$$\frac{1}{k} e^{i\delta_l} \sin \delta_l \rightarrow \frac{k^{2l}}{\left[-\frac{1}{a_l} + \frac{1}{2} r_l k^2\right] - ik^{2l+1}}, \quad (\text{VI.3.30})$$

que pode variar rapidamente quando  $k \rightarrow 0$  para  $\frac{1}{2} a_l r_l k^2 \approx 1$ .

No caso de onda  $s$  a (VI.3.29) torna-se

$$k \cot \delta_0 \xrightarrow{k \rightarrow 0} -\frac{1}{a_0} + \frac{1}{2} r_0 k^2, \quad (\text{VI.3.31})$$

onde agora tanto  $a_0$  quanto  $r_0$  têm dimensão de comprimento e são chamados de *comprimento de espalhamento* e *alcance efetivo*, respectivamente. A amplitude de espalhamento é, então,

$$\frac{1}{k} e^{i\delta_0} \sin \delta_0 = \frac{1}{-\frac{1}{a_0} + \frac{1}{2} r_0 k^2 - ik}. \quad (\text{VI.3.32})$$

No caso de estados ligados, como  $D(z)$  possui zeros no eixo real negativo, a amplitude de espalhamento admite polos complexos e, portanto, se há estados ligados em onda  $s$  devemos ter um polo em  $k = i\alpha$  em (VI.3.32). Neste caso,  $E_b = -\hbar^2 \alpha^2 / 2m$  e  $\alpha$  é solução de  $\alpha = \frac{1}{a_0} + \frac{1}{2} r_0 \alpha^2$ . Esta equação deve ter soluções positivas para que haja estado ligado, o que é o caso quando  $a_0 > 0$  e  $a_0 \rightarrow \infty$  pois assim  $\alpha \rightarrow 0^+$ . Esta análise só é válida para estados fracamente ligados.

## Relação com a densidade de estados

A densidade de estados de uma dada hamiltoniana pode ser escrita para um dado  $l$  como

$$\begin{aligned} \rho(E) &= \sum_n \delta(E - E_n) \\ &= -\frac{1}{\pi} \text{Im} \sum_n \frac{1}{E - E_n + i\epsilon}, \end{aligned} \quad (\text{VI.3.33})$$

pois

$$\frac{1}{E - E_n + i\epsilon} = \mathcal{P} \left( \frac{1}{E - E_n} \right) - i\pi\delta(E - E_n).$$

Como

$$\frac{1}{E - E_n + i\epsilon} = \text{tr} \left\{ \frac{1}{E^{(+)} - H} \right\},$$

onde  $E^{(+)} = E + i\epsilon$ , temos,

$$\begin{aligned} \rho(E) &= -\frac{1}{\pi} \text{Im} \text{tr} \left\{ \frac{1}{E^{(+)} - H} \right\} \\ &= -\frac{1}{\pi} \text{Im} \text{tr} \frac{\partial}{\partial E} \ln \left\{ E^{(+)} - H \right\} \\ &= -\frac{1}{\pi} \text{Im} \frac{\partial}{\partial E} \text{tr} \ln \left\{ E^{(+)} - H \right\} \\ &= -\frac{1}{\pi} \text{Im} \frac{\partial}{\partial E} \ln \det \left\{ E^{(+)} - H \right\} \quad (\text{VI.3.34}) \end{aligned}$$

Como  $H = H_0 + V$  temos

$$\begin{aligned} \rho(E) &= -\frac{1}{\pi} \text{Im} \frac{\partial}{\partial E} \ln \det \left\{ E^{(+)} - H_0 + H_0 - H \right\} \\ &= -\frac{1}{\pi} \text{Im} \frac{\partial}{\partial E} \ln \det \left\{ \left( E^{(+)} - H_0 \right) - V \right\} \\ &= -\frac{1}{\pi} \text{Im} \frac{\partial}{\partial E} \ln \det \left\{ \left( E^{(+)} - H_0 \right) \left[ 1 - \left( E^{(+)} - H_0 \right)^{-1} V \right] \right\} \\ &= -\frac{1}{\pi} \text{Im} \frac{\partial}{\partial E} \ln \det \left\{ E^{(+)} - H_0 \right\} - \frac{1}{\pi} \text{Im} \frac{\partial}{\partial E} \ln \det \left[ 1 - \left( E^{(+)} - H_0 \right)^{-1} V \right]. \quad (\text{VI.3.35}) \end{aligned}$$

Como o 1º termo do último passo de (VI.3.35) é  $\rho^{(0)}(E)$  temos

$$\rho(E) - \rho^{(0)}(E) = -\frac{1}{\pi} \text{Im} \frac{\partial}{\partial E} \ln \det \left[ \frac{E^{(+)} - H}{E^{(+)} - H_0} \right]$$

ou seja,

$$\rho(E) - \rho^{(0)}(E) = -\frac{1}{\pi} \text{Im} \frac{\partial}{\partial E} \ln D(E + i\epsilon). \quad (\text{VI.3.36})$$

Integrando esta expressão com relação à energia temos,

$$\int_{-\infty}^E \left[ \rho(E') - \rho^{(0)}(E') \right] dE' = - \int_{-\infty}^E \frac{1}{\pi} \text{Im} \frac{\partial}{\partial E'} \ln D(E' + i\epsilon) dE',$$

que por sua vez, se há  $N_b$  estados ligados, resulta em

$$N_b + \int_0^E \left[ \rho(E') - \rho^{(0)}(E') \right] dE' = -\frac{1}{\pi} \text{Im} \{ \ln D(E + i\epsilon) - \ln D(-\infty + i\epsilon) \}. \quad (\text{VI.3.37})$$

Então, por (VI.3.15), vemos que se  $|z| \rightarrow \infty$ ,  $D(z) \rightarrow 1$  e assim,

$$N_b + \int_0^E \left[ \rho(E') - \rho^{(0)}(E') \right] dE' = -\frac{1}{\pi} \text{Im} \{ \ln D(E + i\epsilon) \}. \quad (\text{VI.3.38})$$

Agora, usando a (V.3.19), podemos escrever

$$\text{Im} \{\ln D(E + i\epsilon)\} = -\tan^{-1} \left\{ \frac{\pi A(E)}{1 + \mathcal{P} \int_0^\infty \frac{A(E')}{E-E'} dE'} \right\} + 2n\pi, \quad (\text{VI.3.39})$$

e tomando tan dos dois lados de (VI.3.38) tem-se

$$\tan \left\{ N_b\pi + \pi \int_0^E [\rho(E') - \rho^{(0)}(E')] dE' \right\} = \frac{\pi A(E)}{1 + \mathcal{P} \int_0^\infty \frac{A(E')}{E-E'} dE'} = \tan \delta(E), \quad (\text{VI.3.40})$$

onde a última igualdade segue de (VI.3.20). Portanto,

$$\delta(E) = N_b\pi + \pi \int_0^E [\rho(E') - \rho^{(0)}(E')] dE'. \quad (\text{VI.3.41})$$

Quando  $E \rightarrow 0$ , e não há estados ligados com  $E = 0$ , podemos escrever que

$$\delta(0) = N_b\pi, \quad (\text{VI.3.42})$$

que é o chamado teorema de Levinson. Por outro lado, derivando-se a (VI.3.41) com respeito a  $E$  temos

$$\frac{1}{\pi} \frac{d\delta(E)}{dE} = \Delta\rho(E),$$

onde  $\Delta\rho(E) \equiv \rho(E) - \rho^{(0)}(E)$ .

Como na realidade  $\ln D = \ln \prod_g D^g$ , onde  $g$  é a degenerescência do subespaço considerado (por exemplo,  $g = 2l + 1$  no caso de  $V(\mathbf{r}) = V(r)$ ), temos

$$\Delta\rho(E) = \frac{1}{\pi} \sum_s g_s \frac{d\delta_s(E)}{dE}. \quad (\text{VI.3.43})$$

Podemos ainda estudar o que ocorre na vizinhança de uma ressonância. Como já vimos anteriormente em (VI.2.22), quando  $\delta_l$  varia rapidamente através de um múltiplo ímpar de  $\pi/2$ , ocorre uma ressonância. Como a (VI.3.40) pode ser reescrita como

$$\tan \delta_s(E) = -\frac{\text{Im}D_s(E)}{\text{Re}D_s(E)}, \quad (\text{VI.3.44})$$

podemos dizer que esta variação rápida ocorrerá quando  $\text{Re}D_s(E_s) = 0$ , o que implica em

$$\text{Re}D_s(E) \approx (E - E_s) \left. \frac{d\text{Re}D_s(E)}{dE} \right|_{E=E_s}. \quad (\text{VI.3.45})$$

Como, em geral,  $\text{Im}D_s(E_s) \neq 0$  temos

$$\tan \delta_s(E) = \frac{\Gamma_s}{2(E_s - E)}, \quad (\text{VI.3.46})$$

onde definimos

$$\Gamma_s = \frac{2\text{Im}D_s(E_s)}{(d\text{Re}D_s(E))/dE|_{E=E_s}}. \quad (\text{VI.3.47})$$

A equação (VI.3.46) nos mostra que o phase shift varia de  $\pi/2$  quando  $E$  passa por  $E_s$  de  $E < E_s$  para  $E > E_s$ . Desta forma derivando a (VI.3.46) com relação à energia e substituindo na (VI.3.43) teremos

$$\Delta\rho_s(E) = \frac{g_s}{\pi} \frac{d\delta_s(E)}{dE} = g_s \frac{\Gamma_s}{2\pi} \frac{1}{(E - E_s)^2 + \Gamma_s^2/4}, \quad (\text{VI.3.48})$$

o que nos mostra que  $\Gamma_s$  é a largura da ressonância que está ligada ao inverso do tempo de vida do estado como já vimos anteriormente.

Antes de finalizar esta seção é importante notar que a passagem de (VI.3.41) para (VI.3.42) nem sempre é da forma aqui mencionada. Para problemas em dimensões espaciais  $D \geq 2$  o procedimento é válido. Entretanto, se  $D = 1$ , pode haver estados ligados de energia nula, o que faria com que a integral na variação da densidade de estados contribuisse com "metade" de uma função delta para o teorema de Levinson.

No caso de potenciais simétricos em  $1 - D$  as soluções estacionárias são pares ou ímpares e o teorema de Levinson é nestes casos

$$\delta_e(0) = \pi \left( N_b^{(e)} - \frac{1}{2} \right) \quad \text{e} \quad \delta_o(0) = \pi N_b^{(o)} \quad (\text{VI.3.49})$$

onde  $\delta_e(0)$  e  $\delta_o(0)$  são os phase shifts pares e ímpares enquanto que  $N_b^{(e)}$  e  $N_b^{(o)}$  são, respectivamente, o número de estados ligados pares e ímpares do potencial em questão. Portanto, a aplicação desta formulação para problemas unidimensionais requer cuidado especial.